

# **Отчет по лабораторной работе №4: Модель гармонических колебаний**

*дисциплина: Математическое моделирование*

Родина Дарья Алексеевна, НФИбд-03-18

# Содержание

<b>1</b>	<b>Введение</b>	<b>4</b>
1.1	Цель работы . . . . .	4
1.2	Задачи работы . . . . .	4
1.3	Объект и предмет исследования . . . . .	4
<b>2</b>	<b>Модель гармонических колебаний</b>	<b>5</b>
2.1	Линейный гармонический осциллятор . . . . .	5
2.2	Простейшая модель гармонических колебаний . . . . .	5
2.3	Модель математического маятника . . . . .	6
2.4	Алгоритм перехода от дифференциального уравнения второго порядка к двум дифференциальным уравнениям первого порядка	6
2.5	Фазовый портрет и фазовая траектория . . . . .	7
<b>3</b>	<b>Выполнение лабораторной работы</b>	<b>8</b>
3.1	Формулировка задачи из варианта . . . . .	8
3.2	Реализация алгоритмов . . . . .	9
3.2.1	Подключение библиотек . . . . .	9
3.2.2	Функции, описывающие дифференциальные уравнения . .	9
3.2.3	Построение графика функции . . . . .	10
3.2.4	Начальные значения . . . . .	11
3.2.5	Решение дифференциального уравнения и построение графика . . . . .	12
3.3	Построенные графики . . . . .	13
3.3.1	Первый случай . . . . .	13
3.3.2	Второй случай . . . . .	15
3.3.3	Третий случай . . . . .	16
<b>4</b>	<b>Выводы</b>	<b>19</b>

# Список иллюстраций

3.1	Фазовый портрет гармонического осциллятора без затуханий, без действия внешней силы, с собственной частотой колебания $\omega = 5.2$ по горизонтальной оси значения $x$ , по вертикальной оси значения $\dot{x}$ . . . . .	14
3.2	График решений уравнения гармонического осциллятора без затуханий, без действия внешней силы, с собственной частотой колебания $\omega = 5.2$ по горизонтальной оси значения $x$ , по вертикальной оси значения $\dot{x}$ . . . . .	14
3.3	Фазовый портрет гармонического осциллятора с затуханиями, без действия внешней силы, с собственной частотой колебания $\omega = 0.5$ , с параметром, характеризующим потери энергии $\gamma = 14$ по горизонтальной оси значения $x$ , по вертикальной оси значения $\dot{x}$ . . . . .	15
3.4	График решений уравнения гармонического осциллятора с затуханиями, без действия внешней силы, с собственной частотой колебания $\omega = 0.5$ , с параметром, характеризующим потери энергии $\gamma = 14$ по горизонтальной оси значения $x$ , по вертикальной оси значения $\dot{x}$ . . . . .	16
3.5	Фазовый портрет гармонического осциллятора с затуханиями, под действием внешней силы $\vec{F} = 0.8 \sin 9t$ , с собственной частотой колебания $\omega = 0.3$ , с параметром, характеризующим потери энергии $\gamma = 13$ по горизонтальной оси значения $x$ , по вертикальной оси значения $\dot{x}$ . . . . .	17
3.6	График решений уравнения гармонического осциллятора с затуханиями, под действием внешней силы $\vec{F} = 0.8 \sin 9t$ , с собственной частотой колебания $\omega = 0.3$ , с параметром, характеризующим потери энергии $\gamma = 13$ по горизонтальной оси значения $x$ , по вертикальной оси значения $\dot{x}$ . . . . .	18

# **1 Введение**

## **1.1 Цель работы**

Основной целью лабораторной работы можно считать ознакомление с моделью гармонических колебаний.

## **1.2 Задачи работы**

Можно выделить следующие задачи четвертой лабораторной работы:

1. изучение модели гармонических колебаний;
2. написать код, при помощи которого можно построить графики фазового портрета для случаев, указанных в моем варианте лабораторной работы.

## **1.3 Объект и предмет исследования**

Объектом исследования четвертой лабораторной работы можно считать модель гармонических колебаний. Предметами же исследования можно считать случаи, которые рассматриваются в моем варианте лабораторной работе.

## 2 Модель гармонических колебаний

### 2.1 Линейный гармонический осциллятор

**Линейный гармонический осциллятор** - модель, выступающая в качестве основной модели в теории колебаний. Данной моделью можно описать многие системы в физике, химии, биологии и других науках при определенных предположениях.

### 2.2 Простейшая модель гармонических колебаний

Уравнение свободных колебаний гармонического осциллятора имеет следующий вид:

$$\ddot{x} + 2\gamma\dot{x} + \omega_0^2 x = 0$$

где  $x$  - переменная, описывающая состояние системы,  $\gamma$  - параметр, характеризующий потери энергии,  $\omega_0$  - свободная частота колебаний,  $t$  - время,  $\ddot{x} = \frac{\delta^2 x}{\delta t^2}$ ,  $\dot{x} = \frac{\delta x}{\delta t}$ .

Соответственно, данное уравнение - линейное однородное дифференциальное уравнение второго порядка, которое является примером линейной динамической системы.

## 2.3 Модель математического маятника

Простейшую модель математического маятника можно описать так: при отсутствии потерь в системе ( $\gamma = 0$ ) получаем уравнение консервативного осциллятора, энергия колебания которого сохраняется во времени:

$$\ddot{x} + \omega_0^2 = 0$$

где  $\omega_0$  высчитывается из второго закона Ньютона.

## 2.4 Алгоритм перехода от дифференциального уравнения второго порядка к двум дифференциальным уравнениям первого порядка

Для однозначной разрешимости уравнения второго порядка необходимо два начальных условия вида

$$\begin{cases} x(t_0) = x_0 \\ \dot{x}(t_0) = y_0 \end{cases}$$

Уравнение второго порядка можно представить в виде системы двух уравнений первого порядка:

$$\begin{cases} \dot{x} = y \\ \dot{y} = -\omega_0^2 x \end{cases}$$

Начальные условия для системы примут вид:

$$\begin{cases} x(t_0) = x_0 \\ y(t_0) = y_0 \end{cases}$$

## 2.5 Фазовый портрет и фазовая траектория

**Фазовое пространство (плоскость) системы** - пространство, которое определяют независимые переменные  $x$  и  $y$ , в котором “движется” решение. Значение фазовых координат  $x$ ,  $y$  в любой момент времени полностью определяет состояние системы.

**Фазовая траектория** - гладкая кривая, которая отвечает решению уравнения движения как функции времени.

**Фазовый портрет** - картина, образованная набором фазовых траекторий.

## 3 Выполнение лабораторной работы

### 3.1 Формулировка задачи из варианта

Так как в третьей лабораторной работе 70 вариантов, то номер моего варианта вычисляется по формуле  $S_n \bmod 70 + 1$ , где  $S_n$  - номер студенческого билета (в моем случае  $S_n = 1032182581$ ):

$$1032182581 \% 70 + 1$$

Соответственно, номер моего варианта - 32.

#### Вариант 32

Постройте фазовый портрет гармонического осциллятора и решение уравнения гармонического осциллятора для следующих случаев:

1. колебания гармонического осциллятора без затуханий и без действий внешней силы  $\ddot{x} + 5.2x = 0$ ;
2. колебания гармонического осциллятора с затуханием и без действий внешней силы  $\ddot{x} + 14\dot{x} + 0.5x = 0$ ;
3. колебания гармонического осциллятора с затуханием и под действием внешней силы  $\ddot{x} + 13\dot{x} + 0.3x = 0.8 \sin 9t$ ;

на интервале  $t \in [0; 59]$  (шаг 0.05) с начальными условиями  $x_0 = 0.5, y_0 = -1.5$ .



## 3.2 Реализация алгоритмов

Решение лабораторной работы может быть реализовано на многих языках программирования. В моем случае это язык программирования Python. Далее будет представлен код на этом языке программирования.

### 3.2.1 Подключение библиотек

Для того, чтобы использовать многие формулы, а также для построения графиков, необходимо подключить определенные библиотеки, в которых эти формулы описаны:

```
import numpy as np
from math import sin, cos, sqrt
from scipy.integrate import odeint
import matplotlib.pyplot as plt
```

### 3.2.2 Функции, описывающие дифференциальные уравнения

Общий вид функции, описывающей правую часть дифференциального уравнения, имеет вид:

```
# Правая часть уравнения f(t)
def F(t):
    f = 0
    return f
```

где строка 'f = 0' имеет следующие значения:

```
# первый случай
f = 0
```

```
# второй случай
f = 0

# третий случай
f = 0.8 * sin(9 * t)
```

Функция для решение системы дифференциальных уравнений имеет вид:

```
# Вектор-функция f(t, x)
# для решения системы дифференциальных уравнений
#  $x' = y(t, x)$ 
# где x - искомый вектор
def dx(x, t):
    dx1 = x[1]
    dx2 = -w* w* x[0] - g * x[1] - F(t)
    return [dx1, dx2]
```

### 3.2.3 Построение графика функции

Для удобства вынесем построение графиков в отдельные функции:

```
# Функция построения фазового портрета
def draw_f_plot(x, y):
    plt.plot(x, y)
    plt.title("Фазовый портрет")
    plt.xlabel('x')
    plt.ylabel('x`')
    plt.grid()
    plt.show()

# Функция построения графика решения
def draw_plot(x, y, t):
```

```

plt.plot(t, x, label = 'x')
plt.plot(t, y, label = 'x`')
plt.title("Решение дифференциального уравнения")
plt.xlabel('t')
plt.ylabel('x')
plt.legend()
plt.grid()
plt.show()

```

### 3.2.4 Начальные значения

В задаче присутствуют как общие для всех трех случаев начальные значения, так и локальные. Далее будут приведены значения, общие для всех трех случаев:

```

t0 = 0 # Начальный момент времени
tmax = 59 # Конечный момент времени
dt = 0.05 # Шаг изменения времени

# Интервал, в котором решается задача
t = np.arange(t0, tmax, dt)

# Начальные условия
#  $x(t_0) = x_0$ 
x0 = 0.5
y0 = -1.5

# Вектор начальных условий
v0 = np.array([x0, y0])

```

Также в задаче присутствуют несколько начальных значений, различных для трех случаев. В общем виде они задаются в программе следующим образом:

```

# Параметры осциллятора
#  $x'' + g \cdot x' + w^2 \cdot x = f(t)$ 
# w - частота
# g - затухание
w = sqrt(1)
g = 0

```

где:

```

# первый случай
w = sqrt(5.2)
g = 0

```

```

# второй случай
w = sqrt(0.5)
g = 14

```

```

# третий случай
w = sqrt(0.3)
g = 13

```

### 3.2.5 Решение дифференциального уравнения и построение графика

```

# Решаем дифференциальные уравнения
# с начальным условием  $x(t_0) = x_0$ 
# на интервале t
# с правой частью, заданной y
# и записываем решение в матрицу x
x = odeint(dx, v0, t)

```

```

# Переписываем отдельно
# x в xpoint, x' в ypoint
xpoint = [elem[0] for elem in x]
ypoint = [elem[1] for elem in x]

# Построим фазовый портрет
draw_plot(xpoint, ypoint)

# Построим график решений
draw_plot(xpoint, ypoint, t)

```

## 3.3 Построенные графики

### 3.3.1 Первый случай

Колебания гармонического осциллятора без затуханий и без действий внешней силы  $\ddot{x} + 5.2x = 0$  имеют следующий фазовый портрет (рис. 3.1) и график решений уравнения (рис. 3.2):

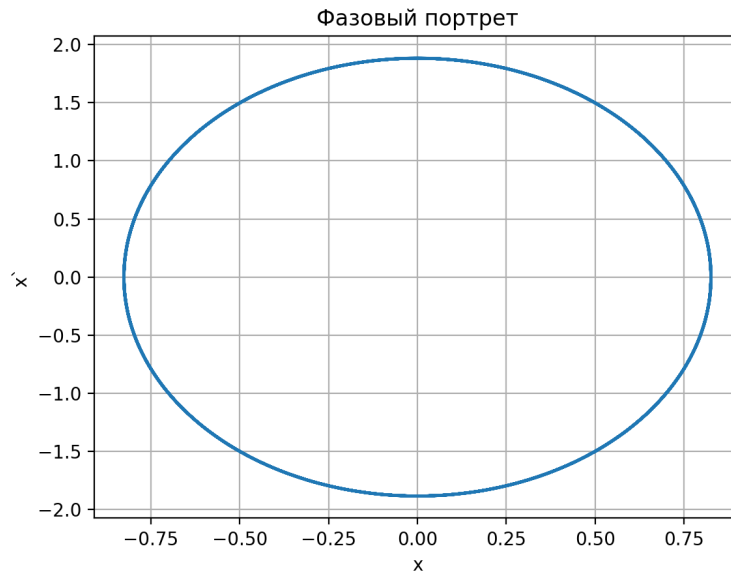


Рис. 3.1: Фазовый портрет гармонического осциллятора без затуханий, без действия внешней силы, с собственной частотой колебания  $\omega = 5.2$  по горизонтальной оси значения  $x$ , по вертикальной оси значения  $\dot{x}$

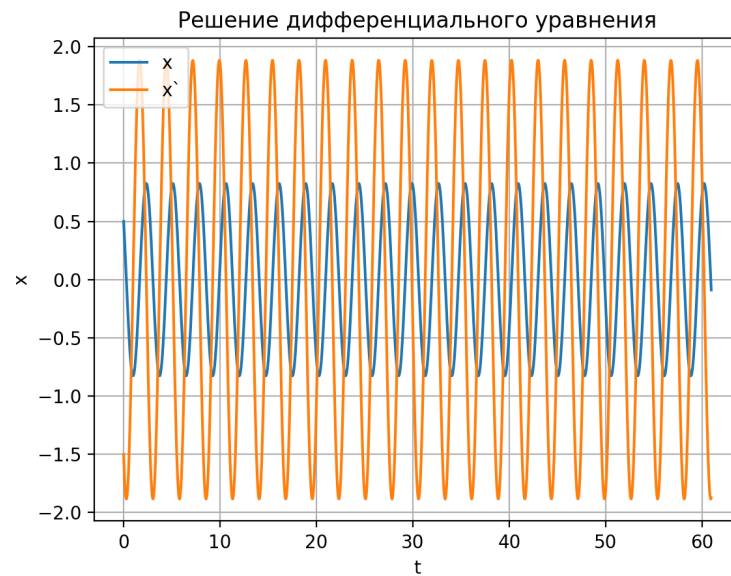


Рис. 3.2: График решений уравнения гармонического осциллятора без затуханий, без действия внешней силы, с собственной частотой колебания  $\omega = 5.2$  по горизонтальной оси значения  $x$ , по вертикальной оси значения  $\dot{x}$

### 3.3.2 Второй случай

Колебания гармонического осциллятора с затуханием и без действий внешней силы  $\ddot{x} + 14\dot{x} + 0.5x = 0$  имеют следующий фазовый портрет (рис. 3.3) и график решений уравнения (рис. 3.4):

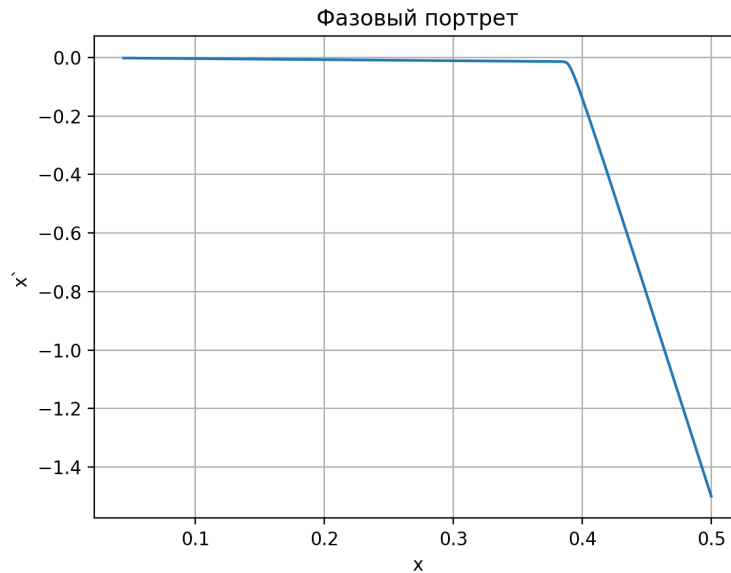


Рис. 3.3: Фазовый портрет гармонического осциллятора с затуханиями, без действия внешней силы, с собственной частотой колебания  $\omega = 0.5$ , с параметром, характеризующим потери энергии  $\gamma = 14$  по горизонтальной оси значения  $x$ , по вертикальной оси значения  $\dot{x}$

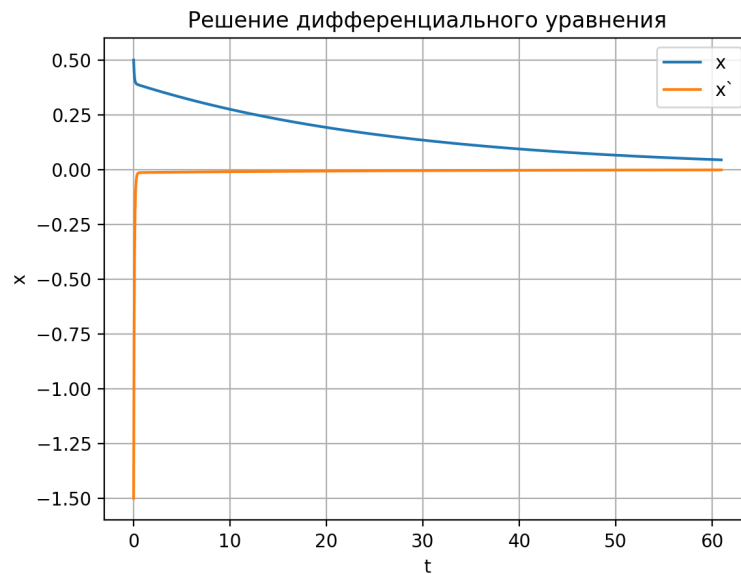


Рис. 3.4: График решений уравнения гармонического осциллятора с затуханиями, без действия внешней силы, с собственной частотой колебания  $\omega = 0.5$ , с параметром, характеризующим потери энергии  $\gamma = 14$  по горизонтальной оси значения  $x$ , по вертикальной оси значения  $\dot{x}$

### 3.3.3 Третий случай

Колебания гармонического осциллятора с затуханием и под действием внешней силы  $\ddot{x} + 13\dot{x} + 0.3x = 0.8 \sin 9t$  имеют следующий фазовый портрет (рис. 3.5) и график решений уравнения (рис. 3.6):



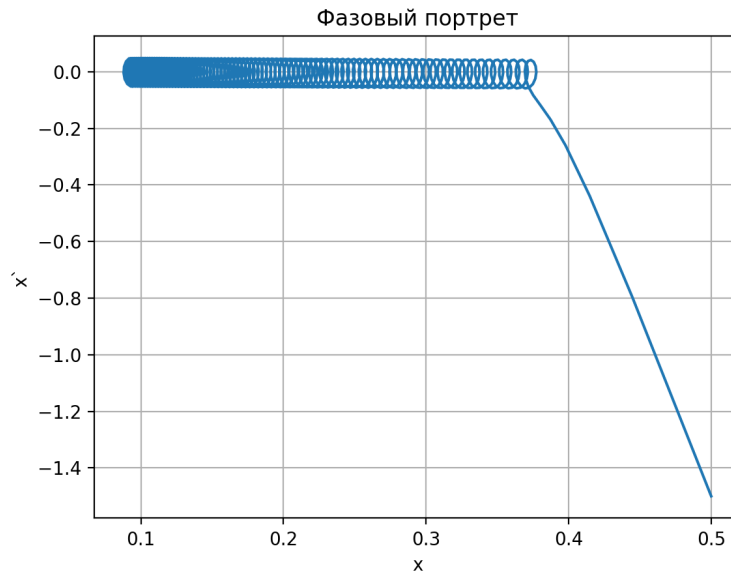


Рис. 3.5: Фазовый портрет гармонического осциллятора с затуханием, под действием внешней силы  $\vec{F} = 0.8 \sin 9t$ , с собственной частотой колебания  $\omega = 0.3$ , с параметром, характеризующим потери энергии  $\gamma = 13$  по горизонтальной оси значения  $x$ , по вертикальной оси значения  $\dot{x}$

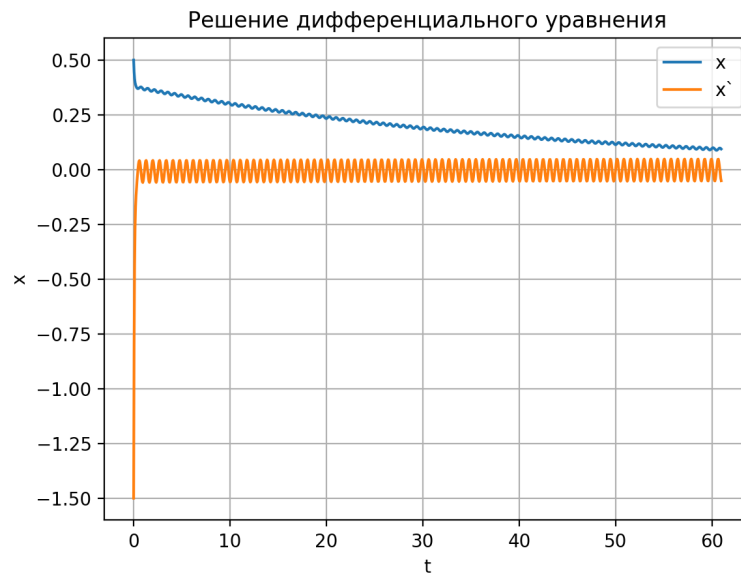


Рис. 3.6: График решений уравнения гармонического осциллятора с затуханием, под действием внешней силы  $\vec{F} = 0.8 \sin 9t$ , с собственной частотой колебания  $\omega = 0.3$ , с параметром, характеризующим потери энергии  $\gamma = 13$  по горизонтальной оси значения  $x$ , по вертикальной оси значения  $\dot{x}$

## 4 Выводы

В ходе выполнения лабораторной работы было проведено ознакомление с простейшими моделями гармонического осциллятора, а также построены фазовые портреты моделей.